



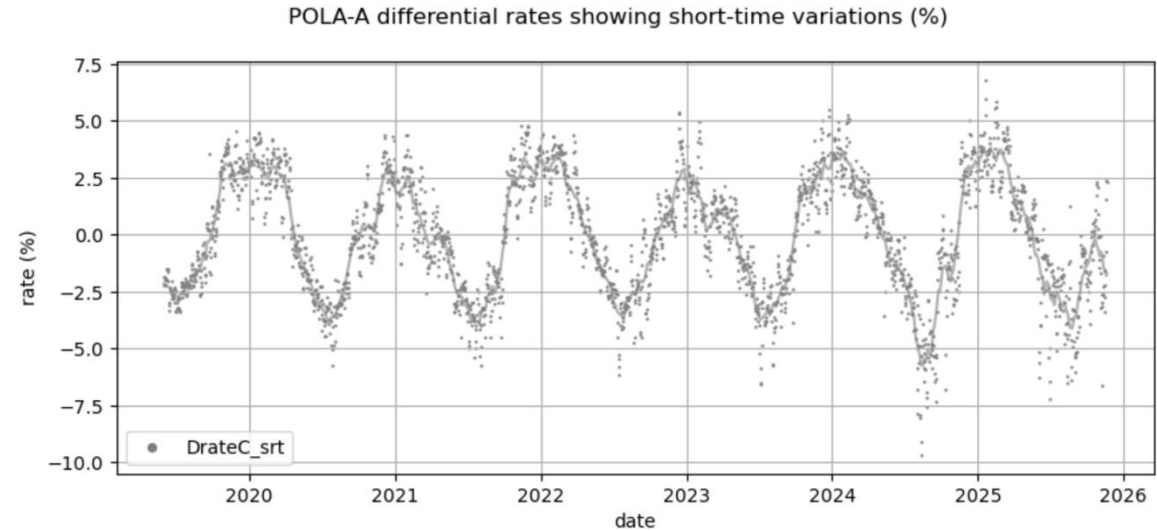
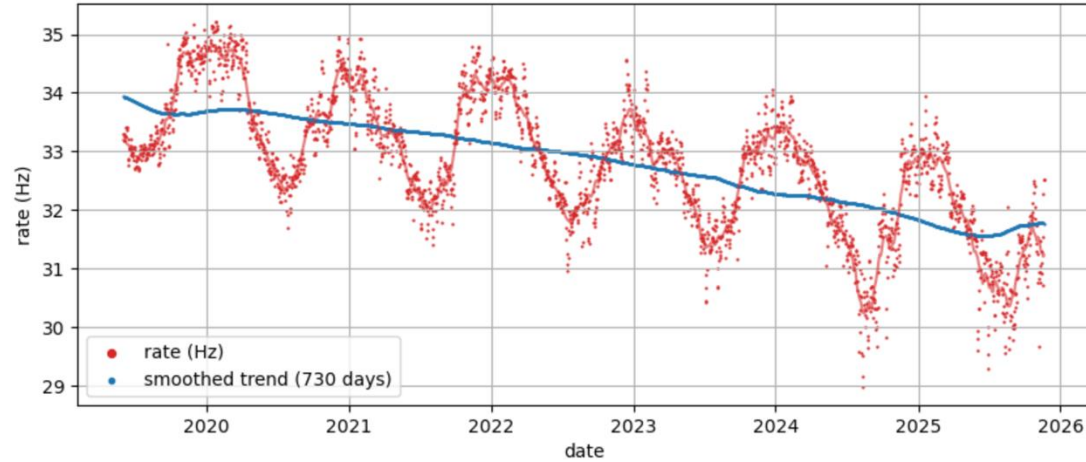
“Atmospheric effects on cosmic-ray muon rate at high latitude (78.9°N)”

Rosario e Ombretta

27 novembre 2025



Modelli che descrivono l'effetto della temperatura atmosferica



- $\text{rateC} \rightarrow \text{rateC_srt}$ (togliendo il trend principale)
- DrateC_srt rate differenziale espresso in %

Modelli empirici lineari

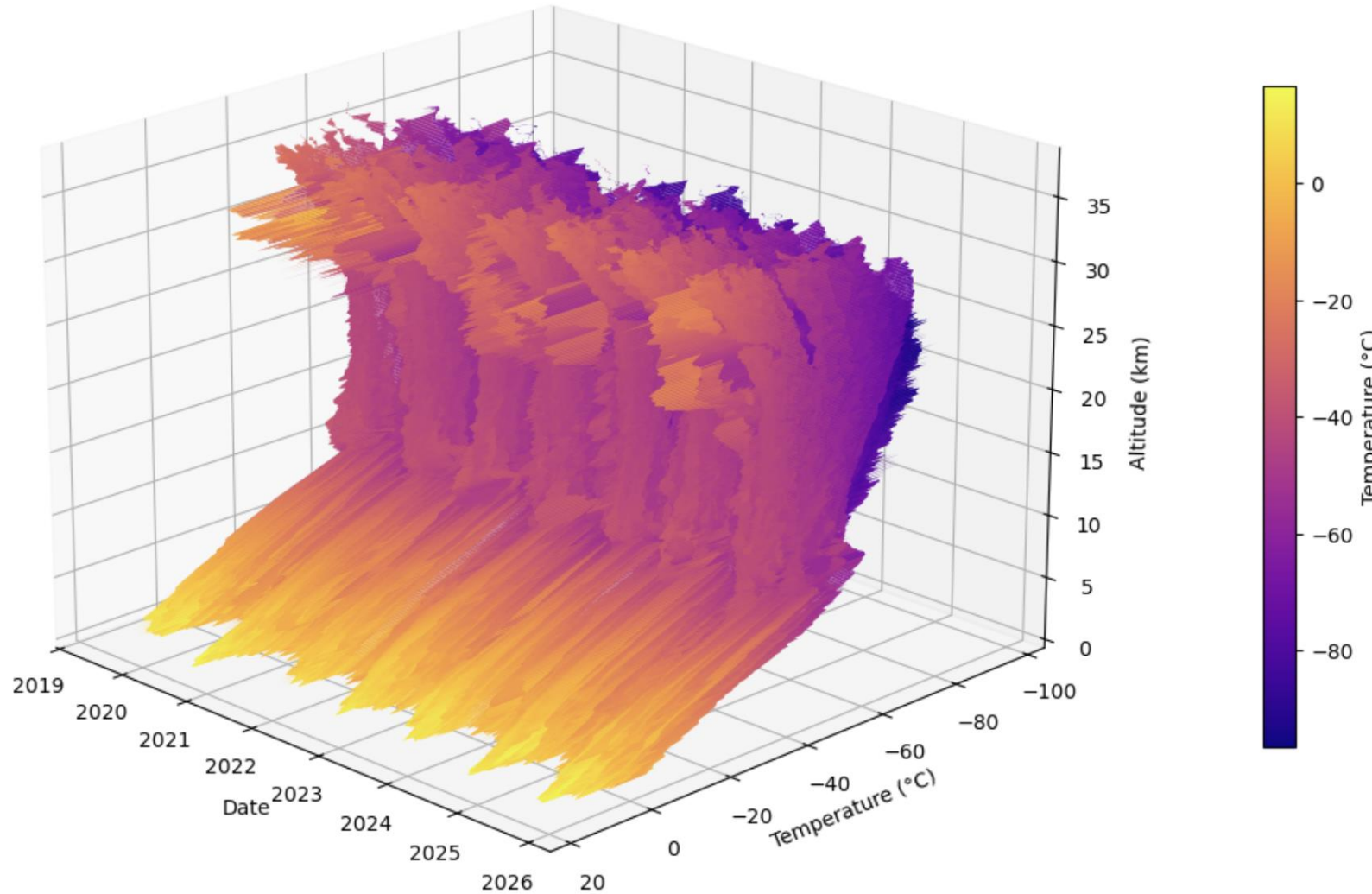
$$\Delta I_{PTC} = \Delta I_{PC} - \Delta I_T$$

$$\Delta I_T = \alpha_T * \Delta T$$

Modelli integrali o discreti

Non si basano su uno specifico parametro atmosferico
ma tengono in considerazione tutto il profilo verticale

Profilo verticale di temperatura sopra Ny-Ålesund



AWI campagna quotidiana di radiosonde

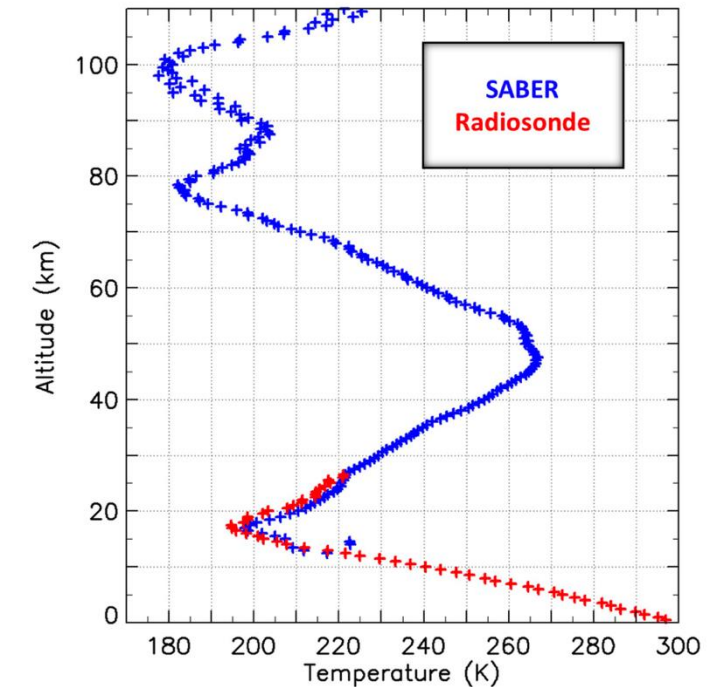
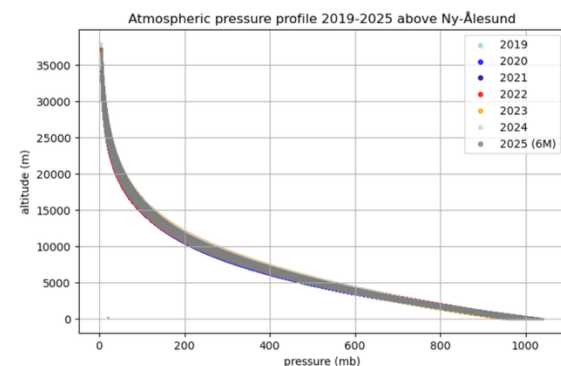
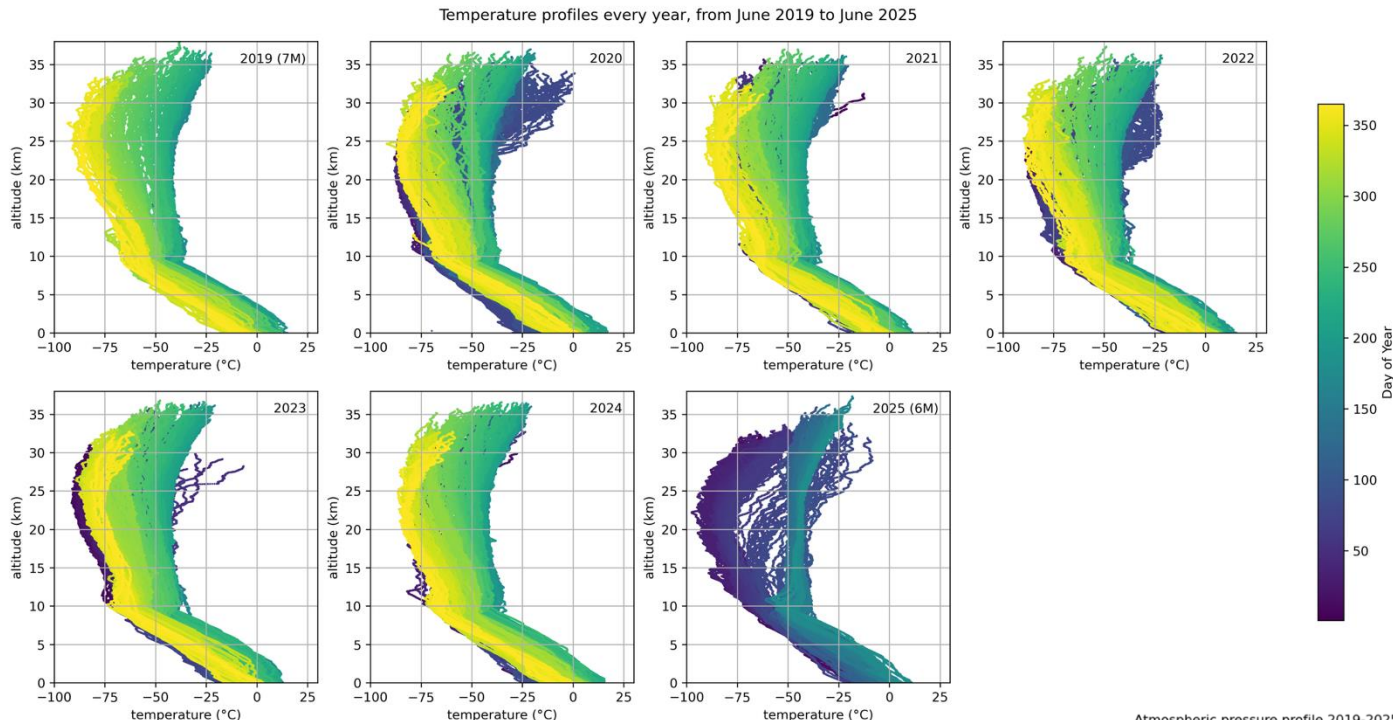
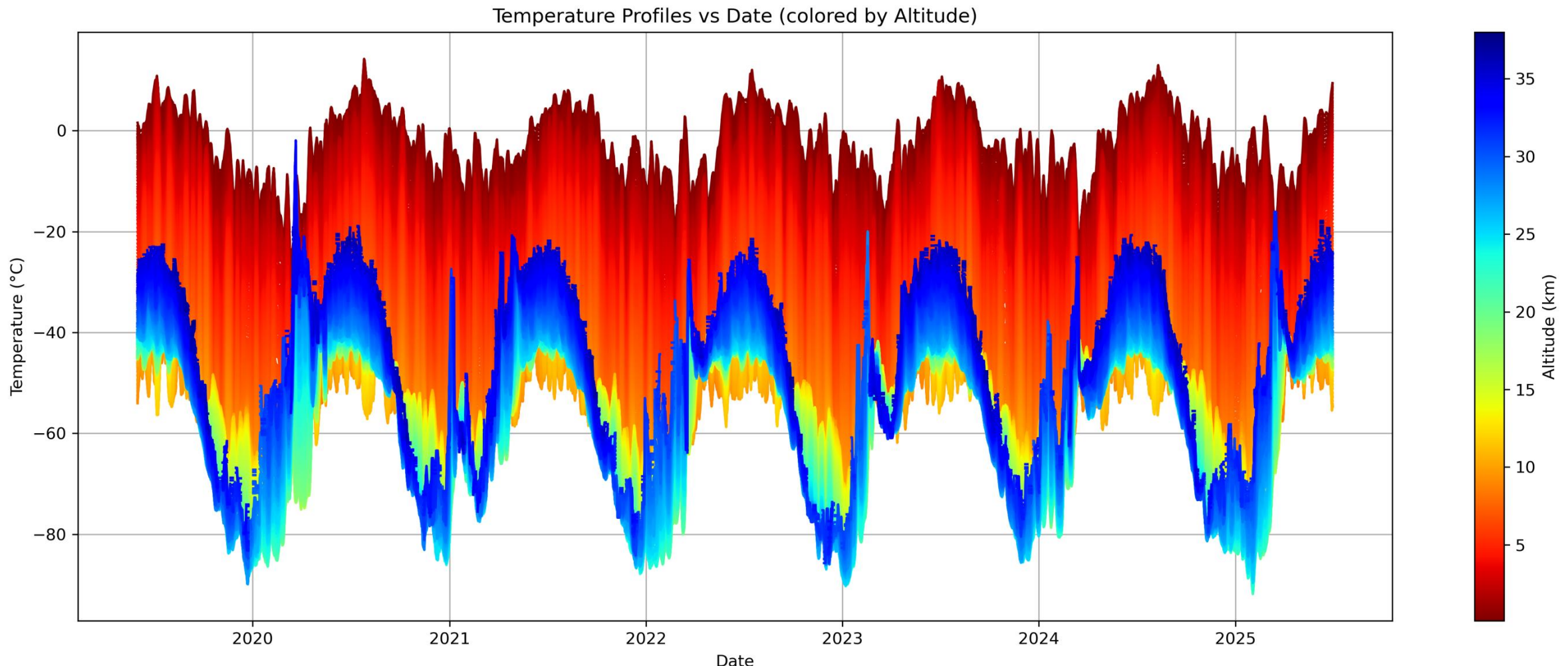


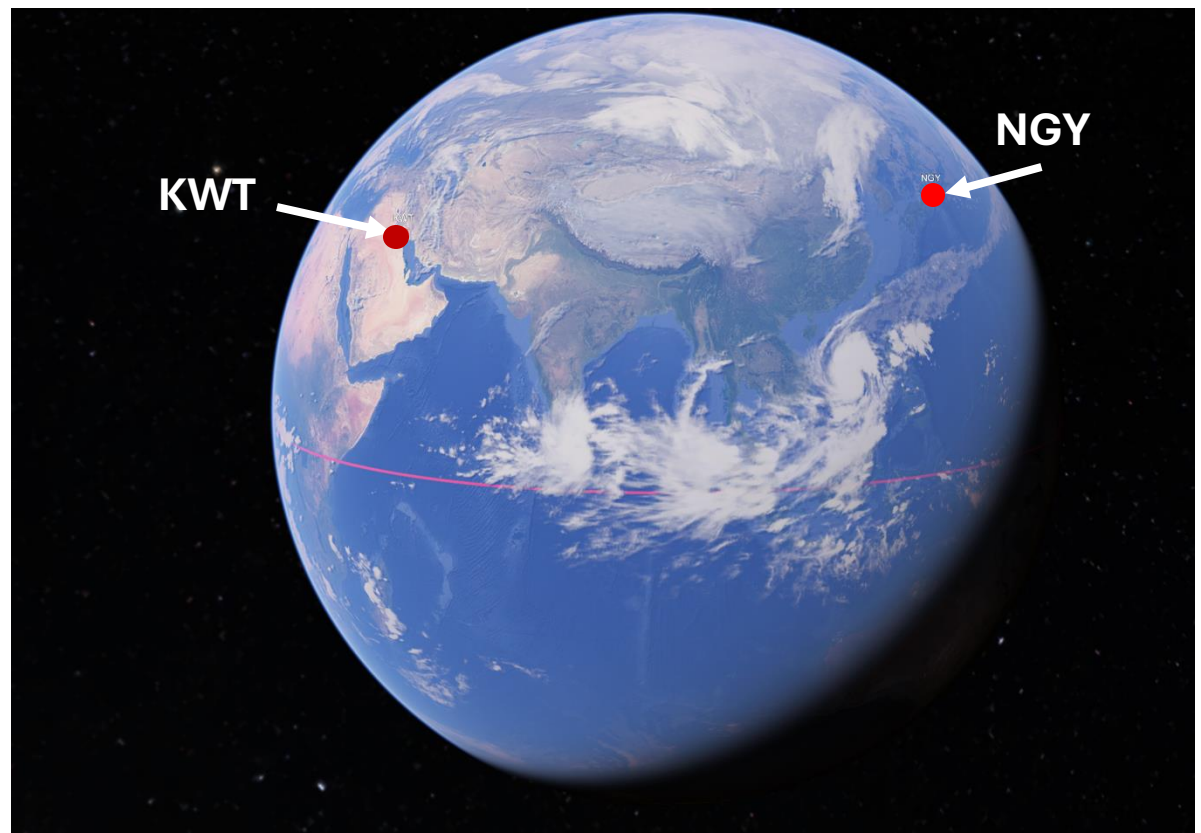
Figure 2. Atmospheric temperature profile composite using SABER (blue) and radiosonde (red) data observed above the SMS detector region on 2009/11/06.

Trend dei profili di temperatura nel tempo



Review di vari metodi con dati GMDN

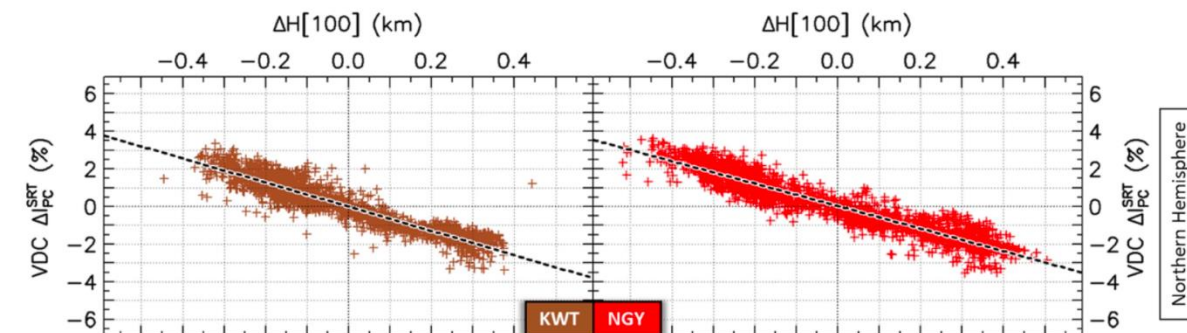
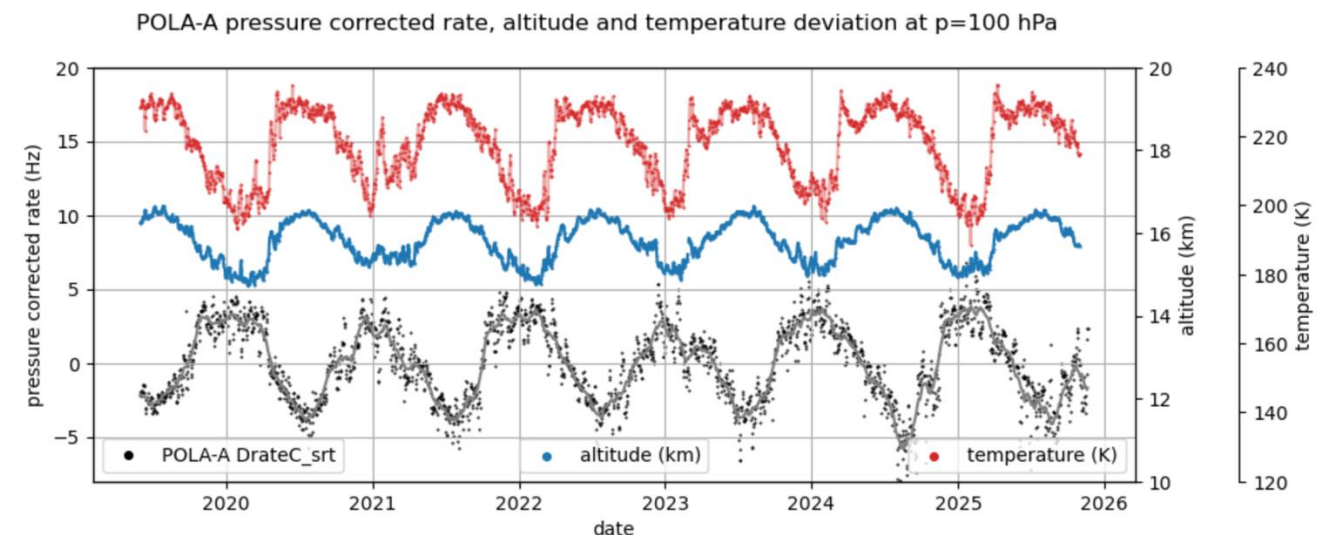
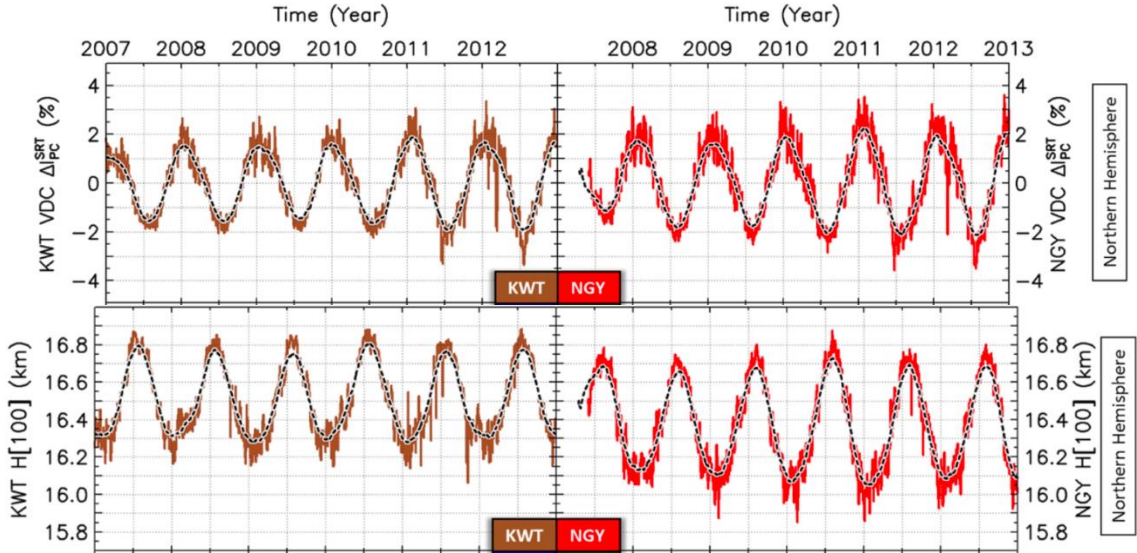
- The temperature effect in secondary cosmic rays (muons) observed at the ground: analysis of the Global Muon Detector Network data. R de Mendonça et al.
doi:10.3847/0004-637X/830/2/88
- Kuwait City : lat 29.37°N
- Nagoya : 35.15°N
- Hobart : 42.88°S
- Sao Martinho: 29.94°S



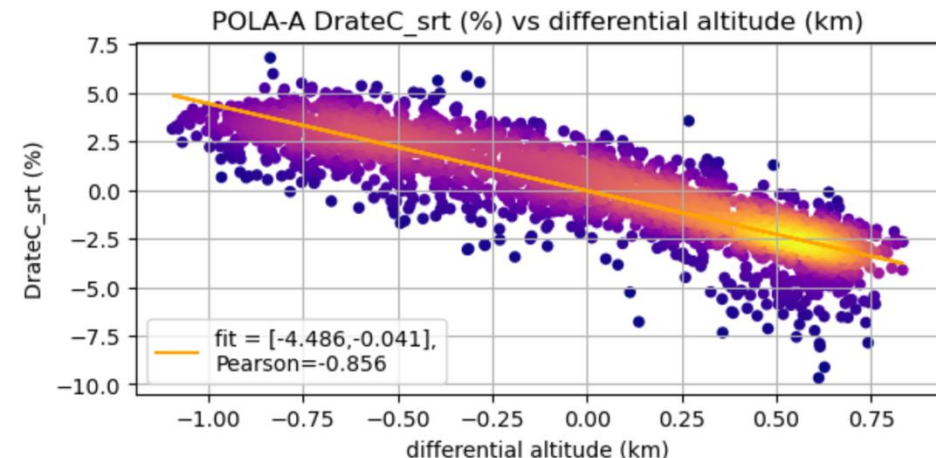
Metodo ATE, si basa sull'isobara a 100 hPa

Paper de Mendonça

nostra analisi



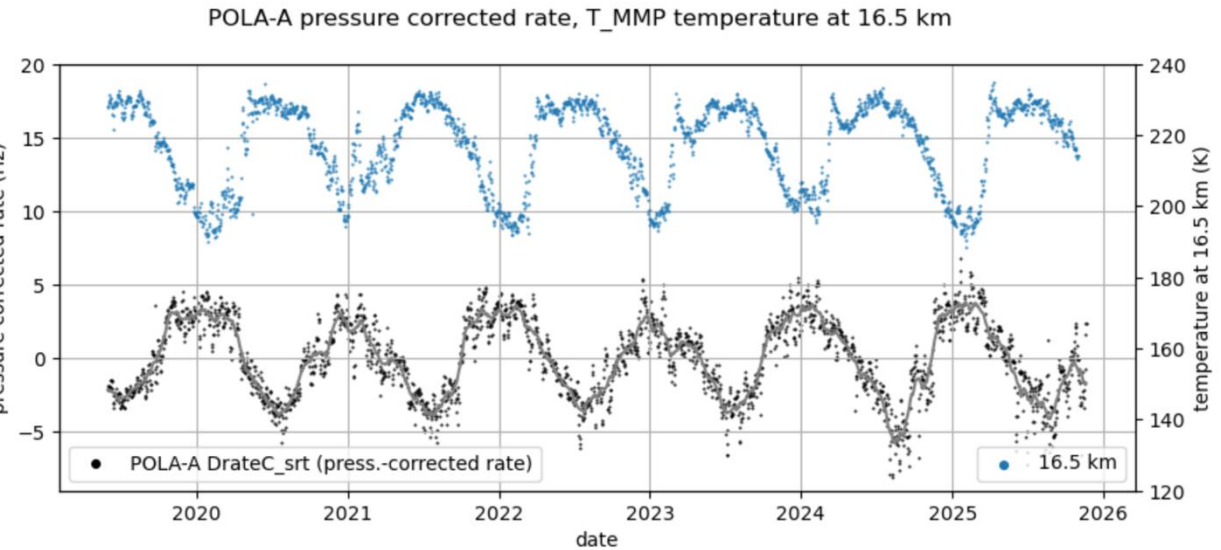
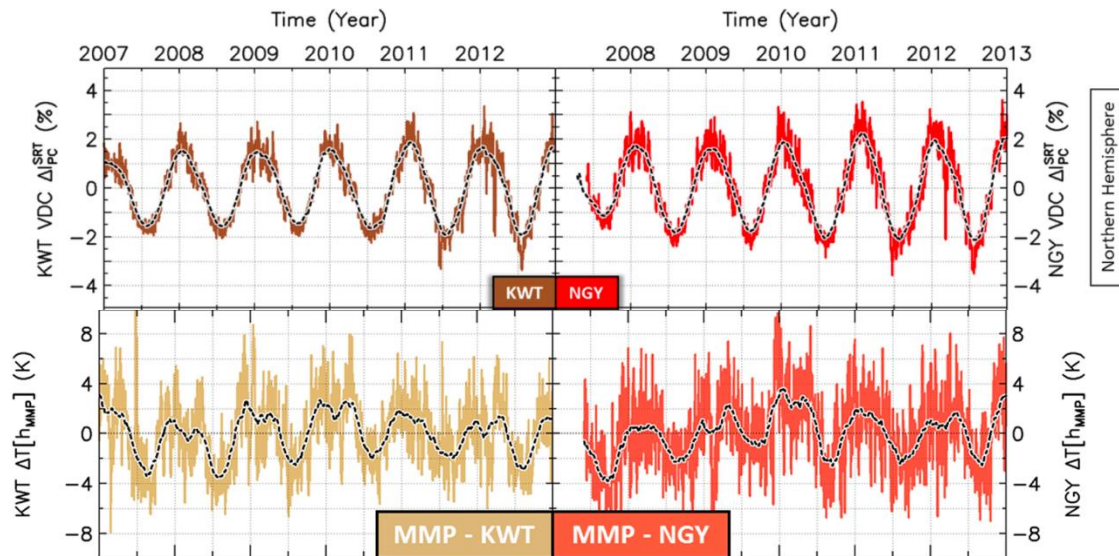
Alpha_ATE from best fit:
 $\alpha_{srt} = -4.486 \text{ \%}/\text{km}$



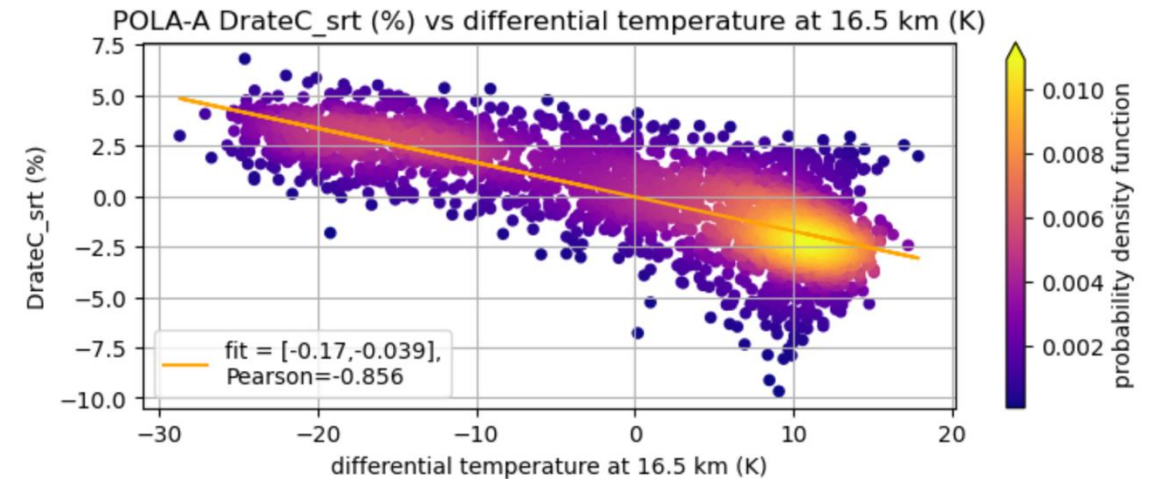
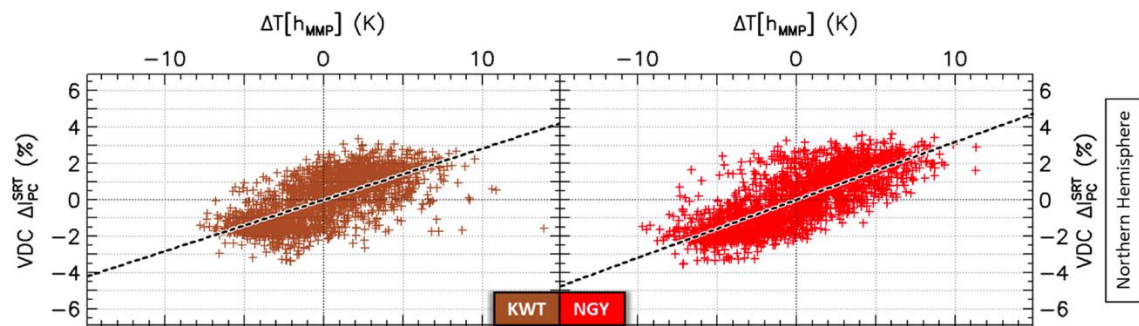
Metodo MMP, temperatura a 16.5 km

Paper de Mendonça

nostra analisi



Alpha_MMP from fit of DrateC_srt (%) vs differential temperature at 16.5 km (K)
 $\alpha_{MMPA} = -0.16981622653546777$



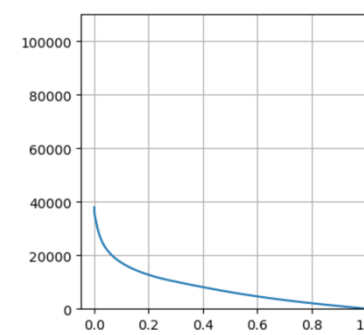
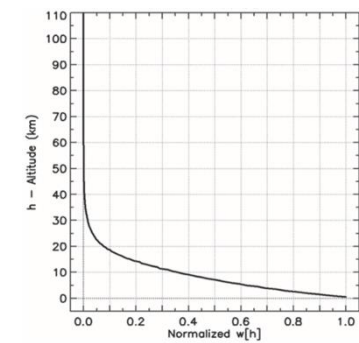
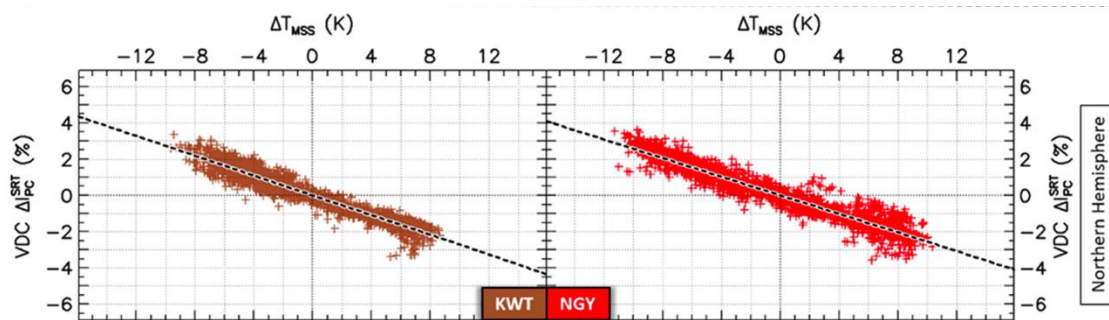
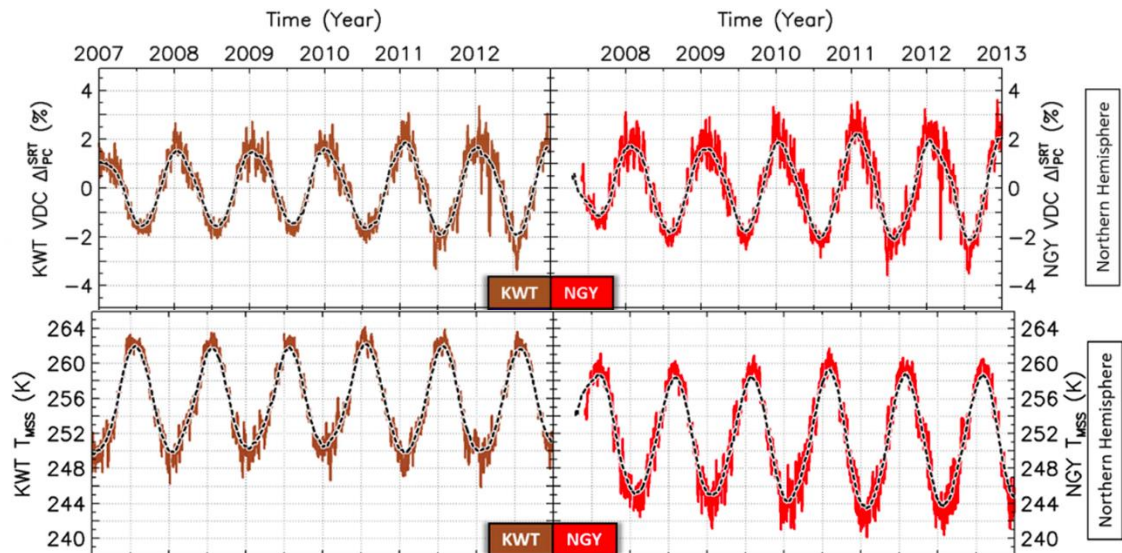
Method MSS

$$T_{MSS} = \sum_{i=0}^n w[h_i] * T[h_i]$$

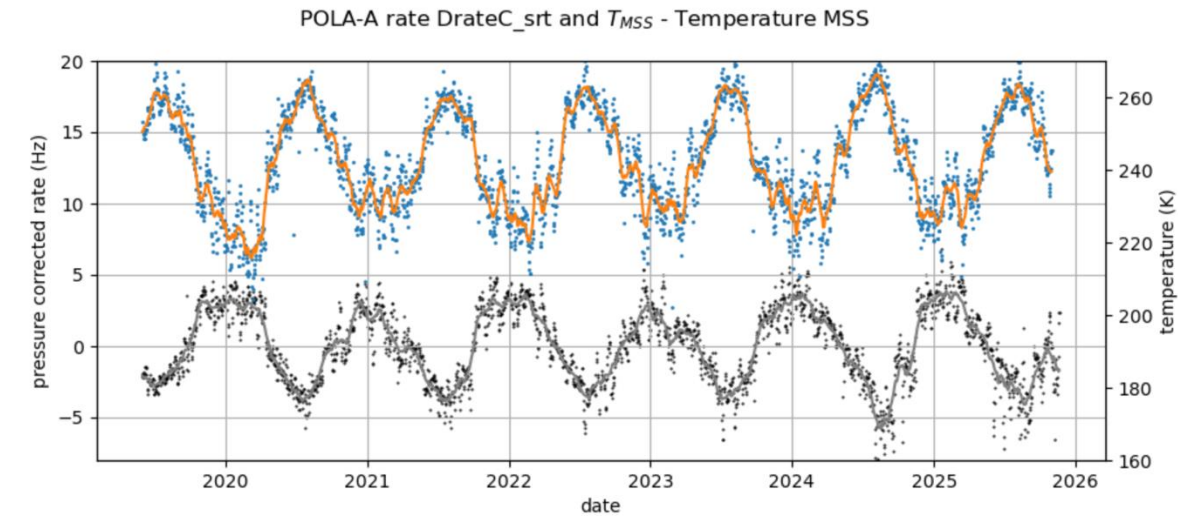
$$w[h_i] = \frac{x[h_i] - x[h_{i+1}]}{x[h_0]} \epsilon$$

$x[h_i]$ = atmospheric depth

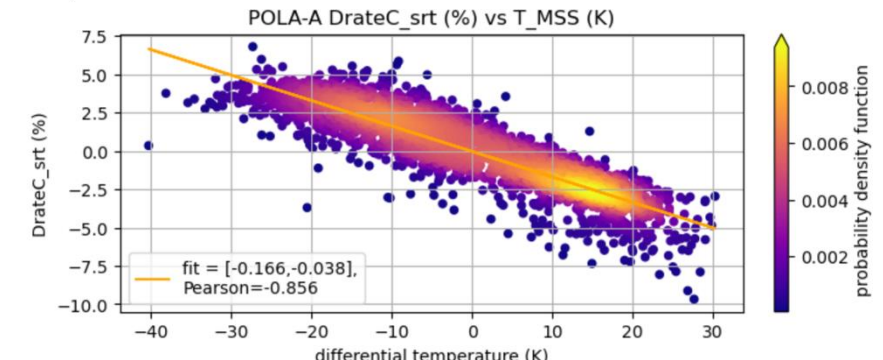
Paper de Mendonça



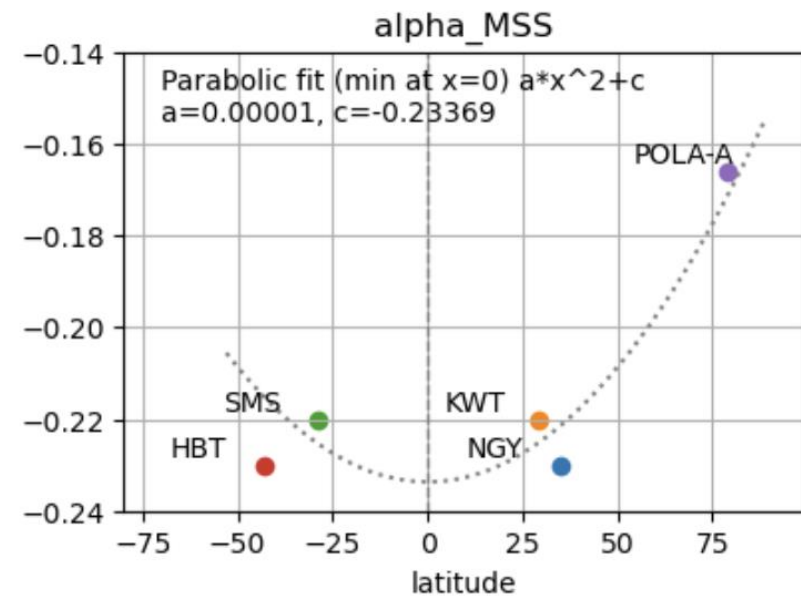
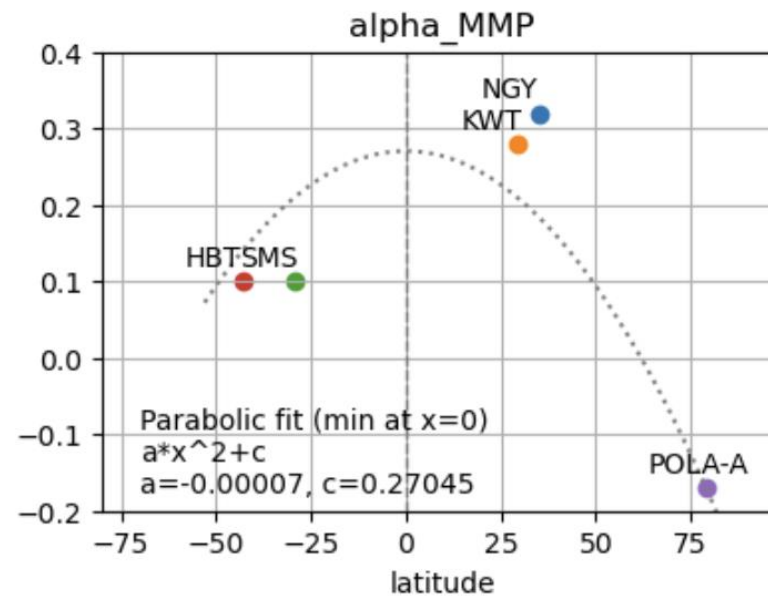
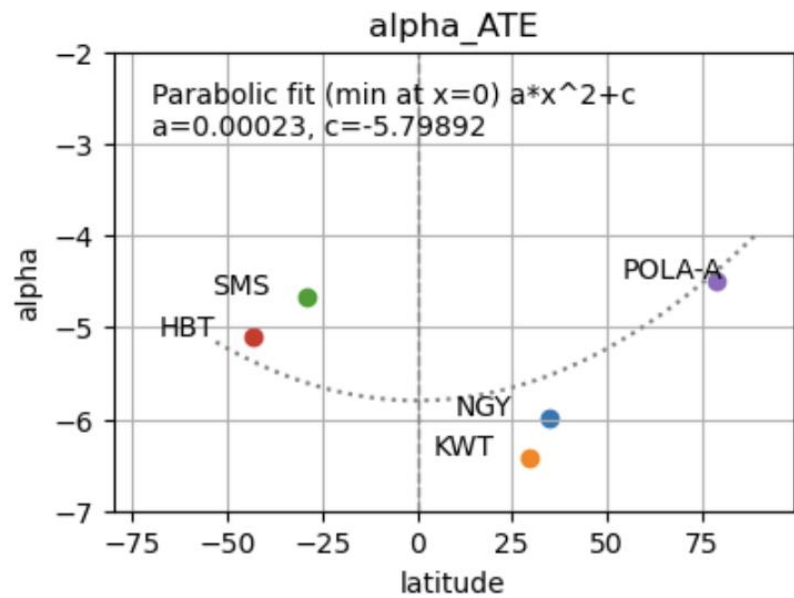
nostra analisi



Alpha_{MSS} from fit of DrateC_{srt} (%) vs T_{MSS} (K)
 $\alpha_{MSS} = -0.16610313547427152$



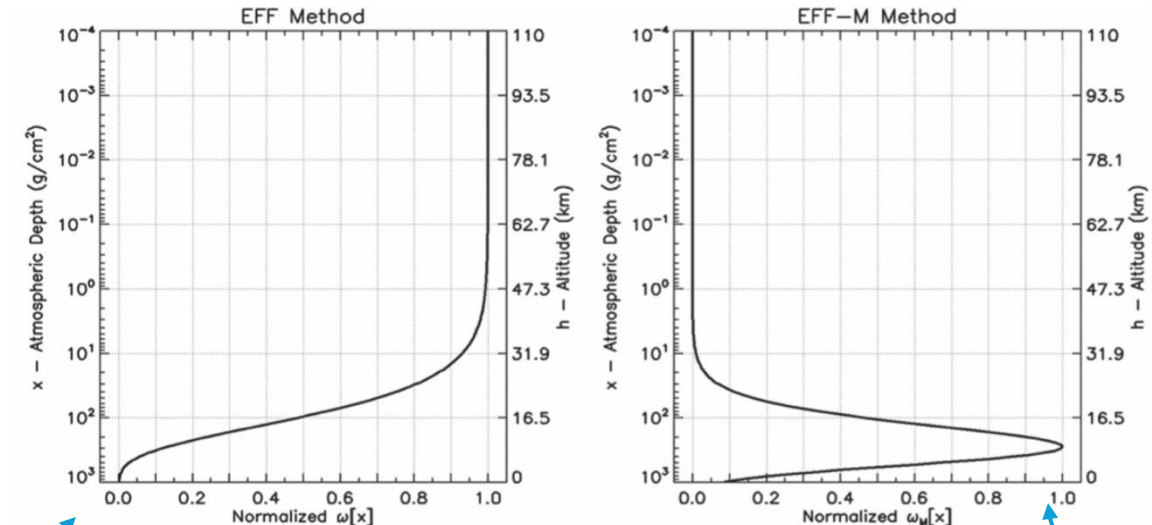
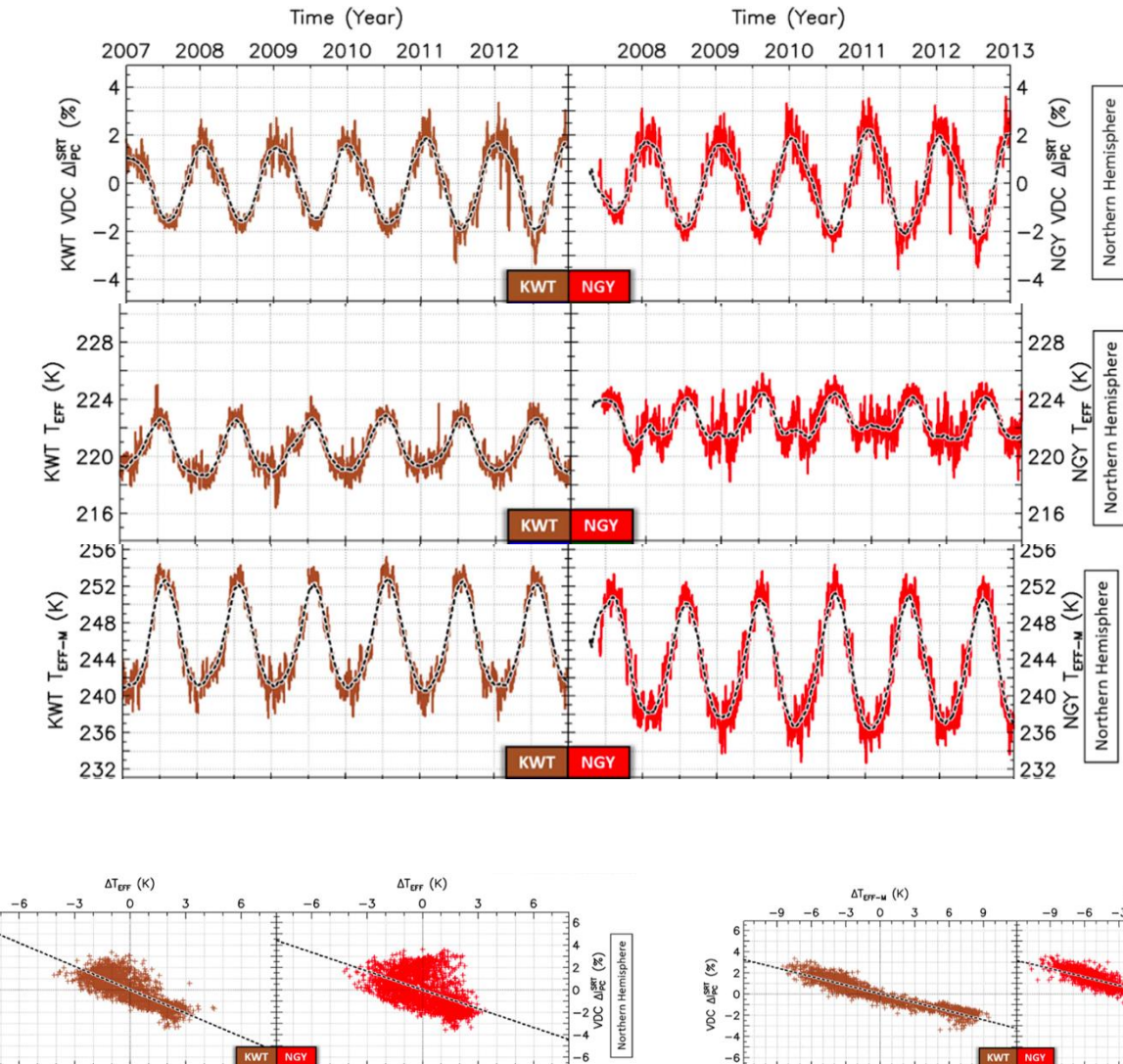
Alpha vs latitude



Method EFF (temperatura efficace)

peso utilizzato da tante analisi soprattutto per detector underground

modifica proposta da de Mendonça, senza motivazione scientifica, se non ché si adatta meglio ai dati



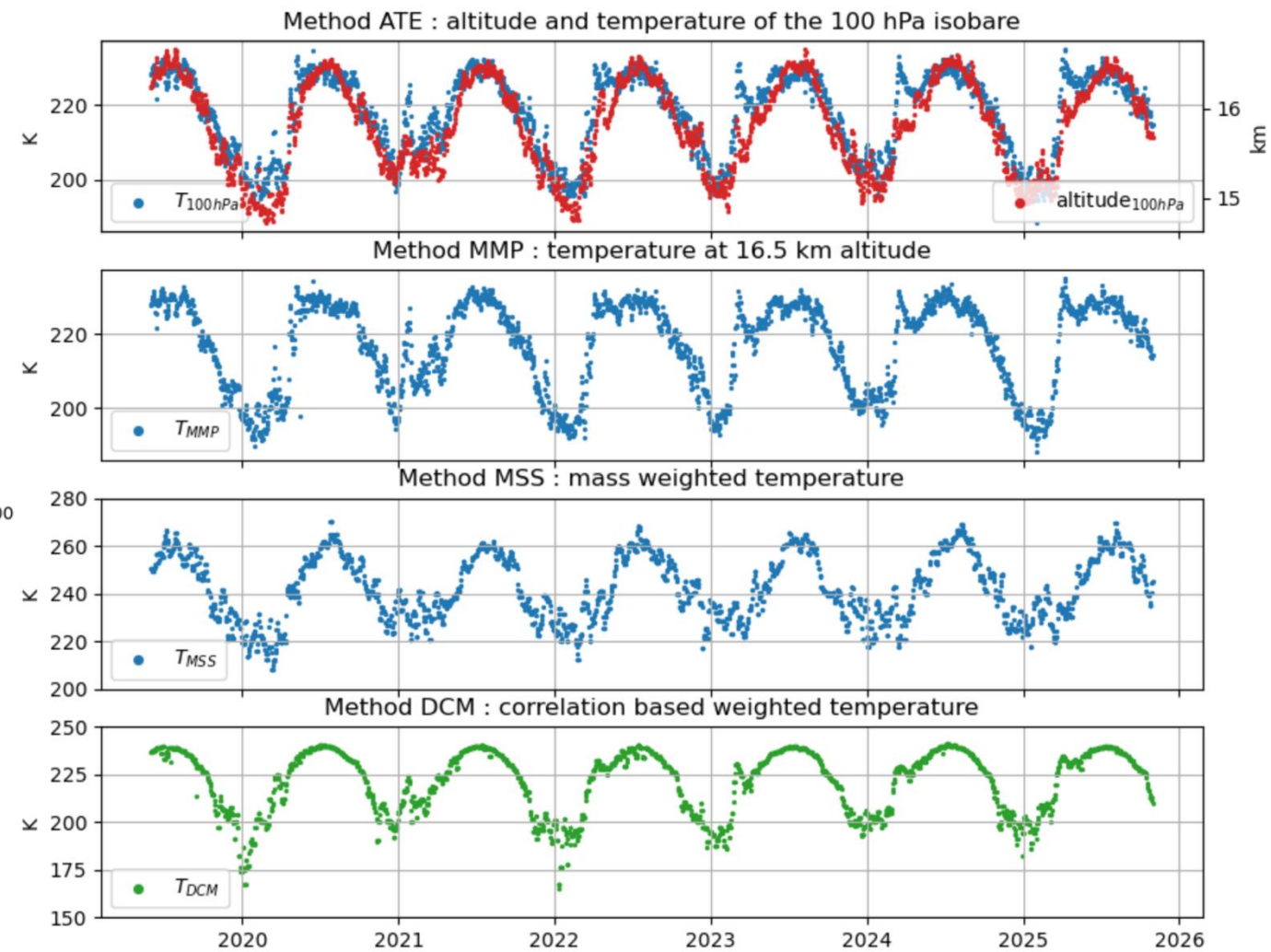
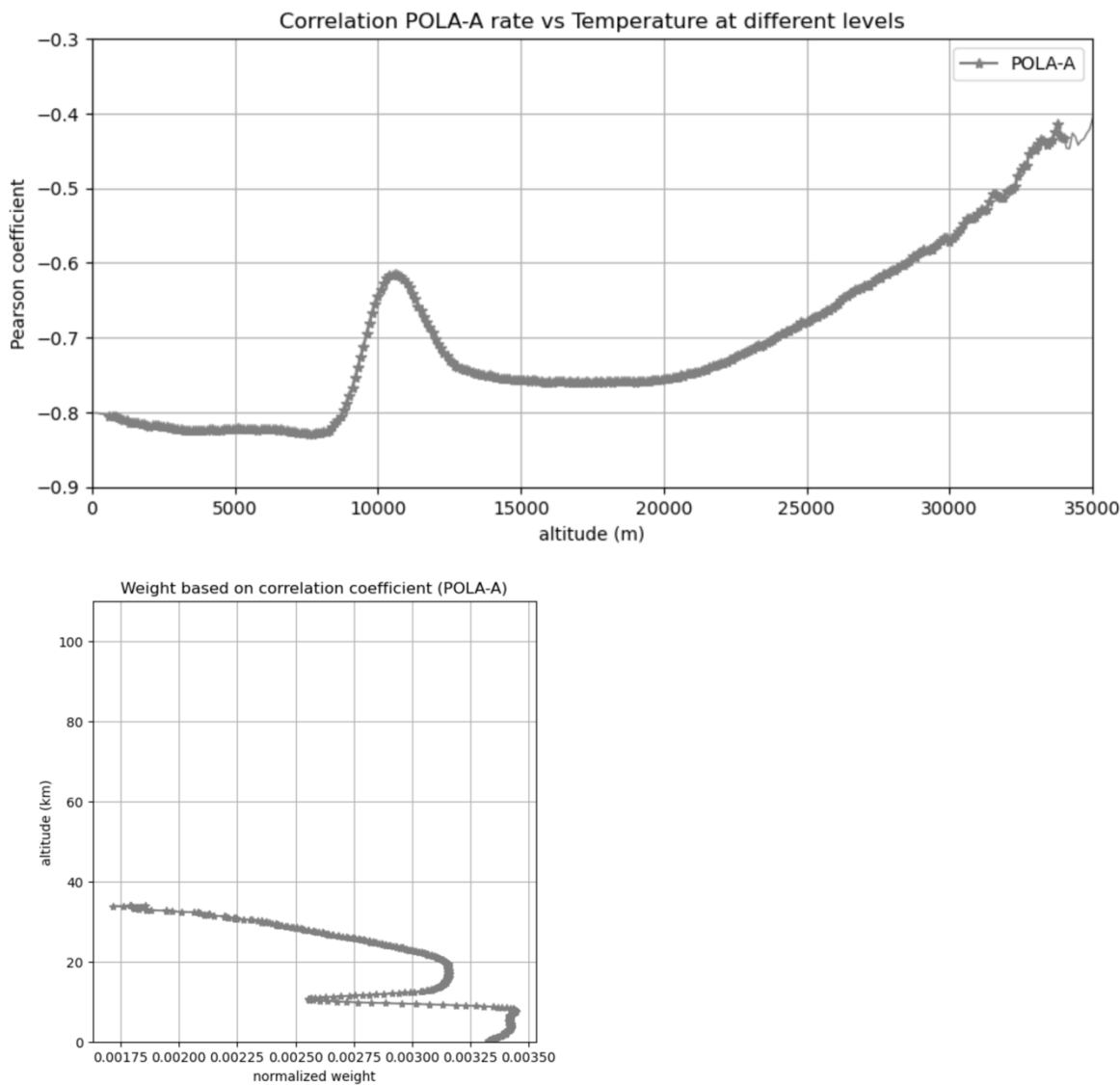
$$T_{EFF} = \frac{\int_0^{x_{GRD}} w[x] * T[x] dx}{\int_0^{x_{GRD}} w[x] dx}$$

$$T_{EFF-M} = \frac{\int_0^{x_{GRD}} \omega_M[x] * T[x] dx}{\int_0^{x_{GRD}} \omega_M[x] dx}, \quad \omega_M[x] = x * (e^{-\frac{x}{\lambda_\pi}} - e^{-\frac{x}{\lambda_n}})$$

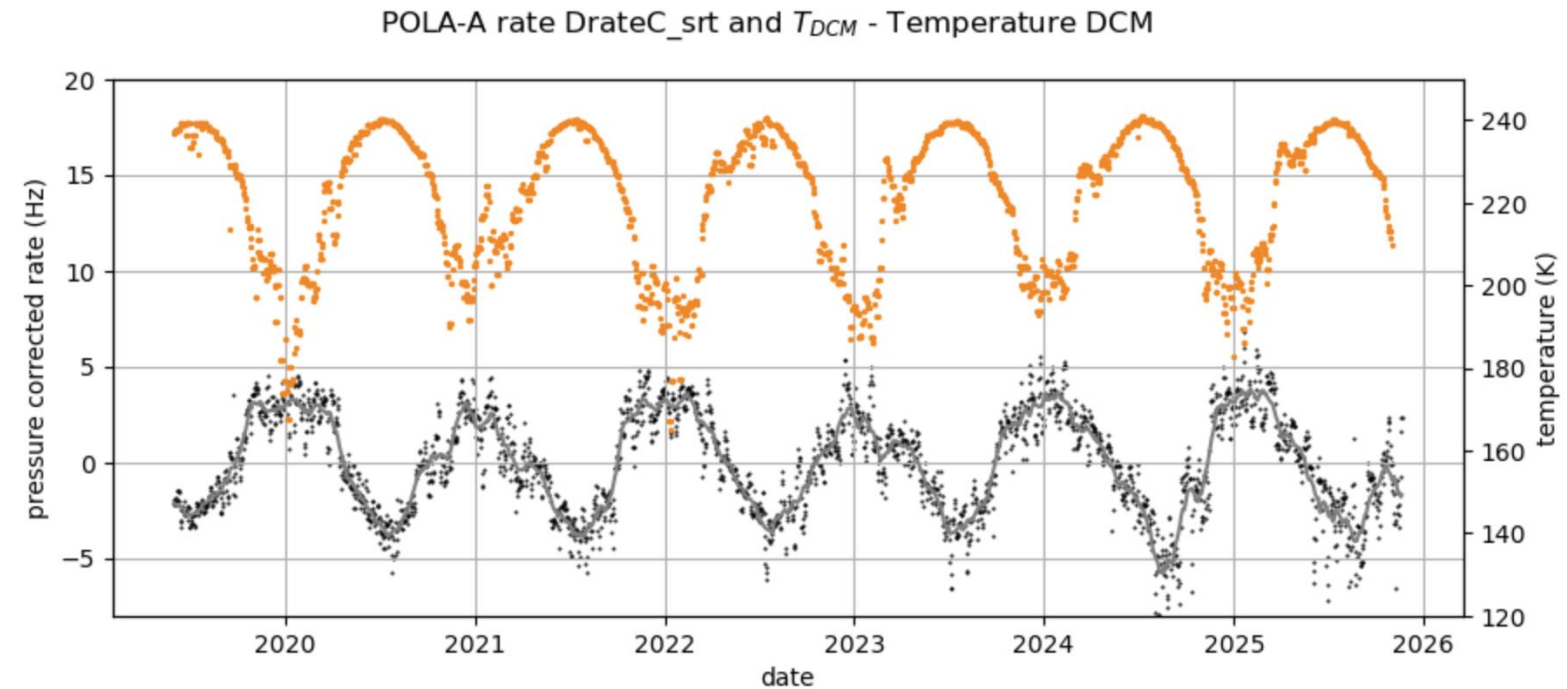
$\lambda_\pi = 160 \text{ g cm}^{-2}$ is the atmospheric attenuation length for pions

$\lambda_n = 120 \text{ g cm}^{-2}$ is the atmospheric attenuation length for nucleons

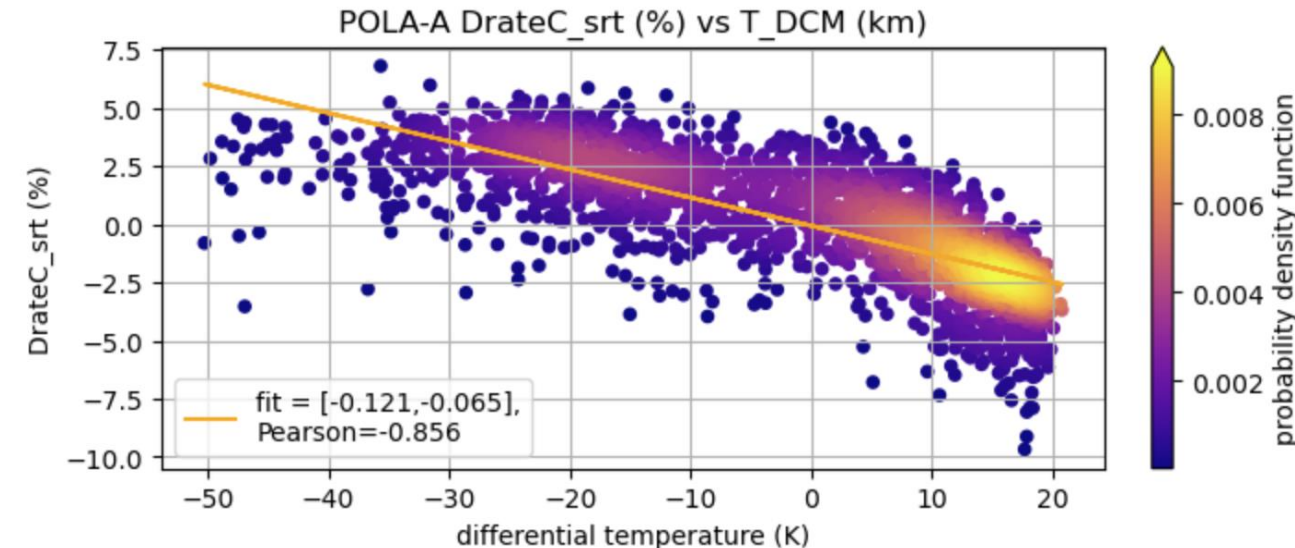
Metodo DCM (Discrete Correlation Method - EEE)



Metodo DCM

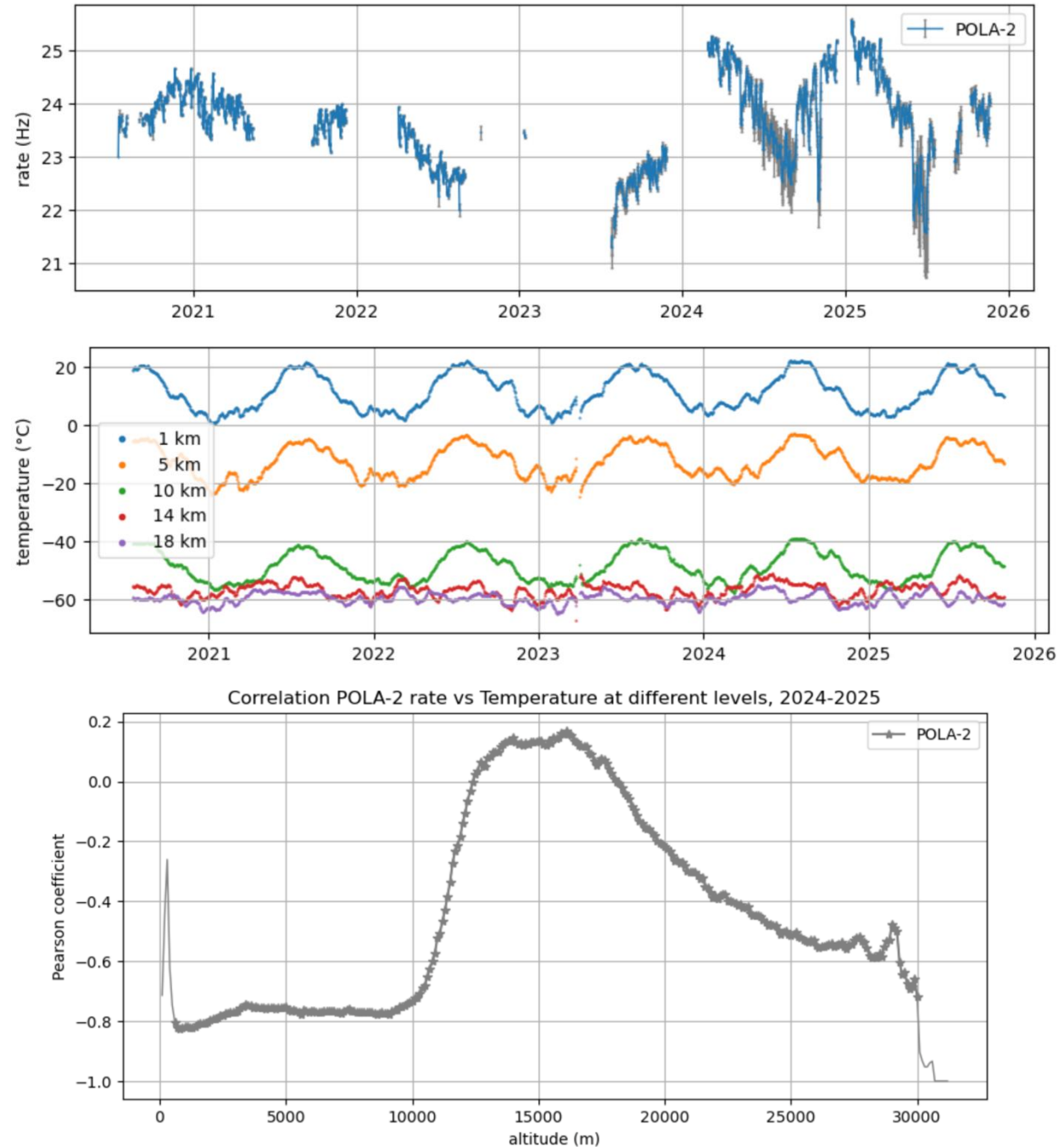
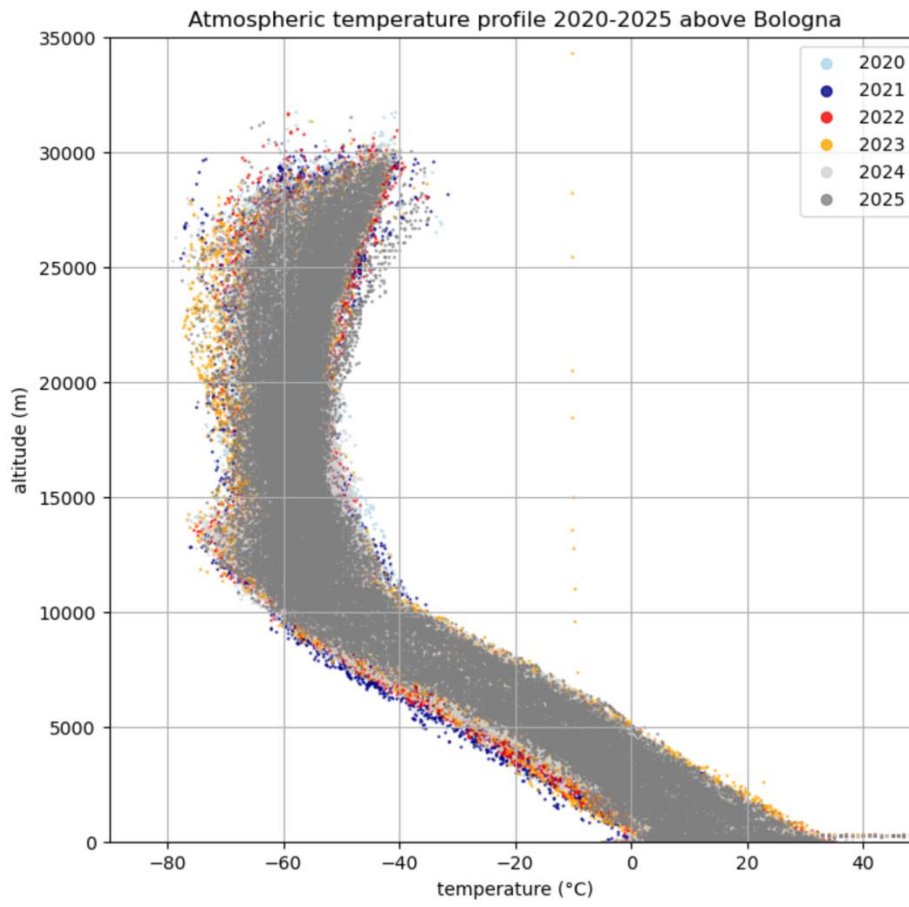


AlphaDCM from fit of DrateC_srt (%) vs T_{DCM} (km)
alphaDCM = -0.1210552467977541

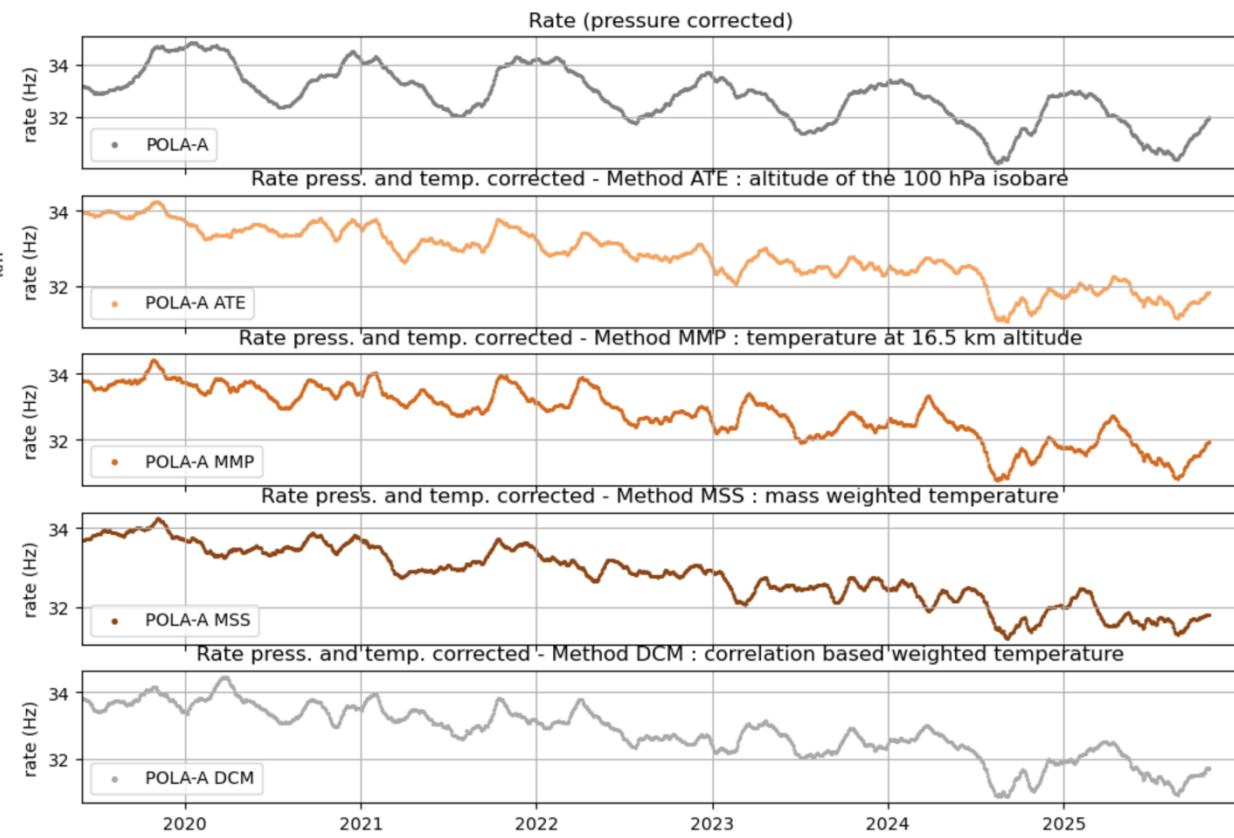
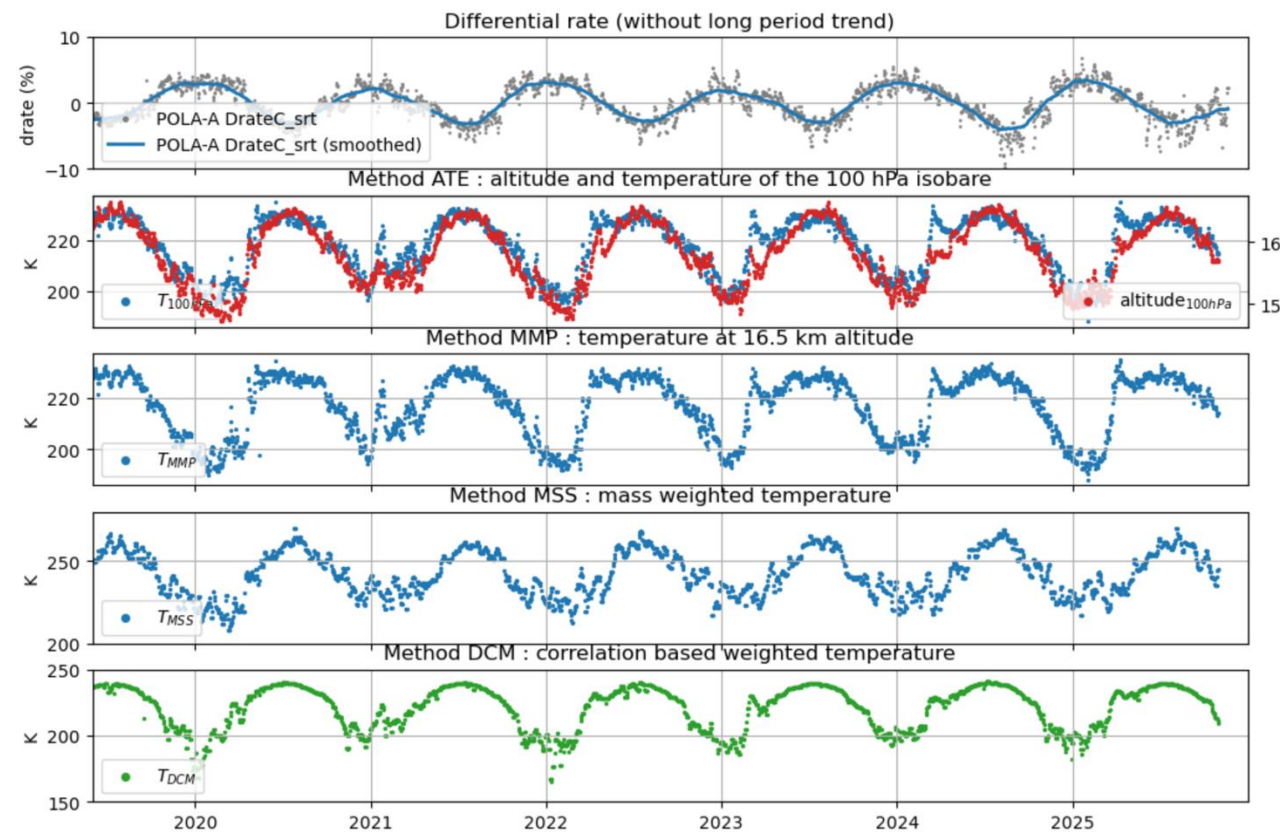


POLA-2 a Bologna

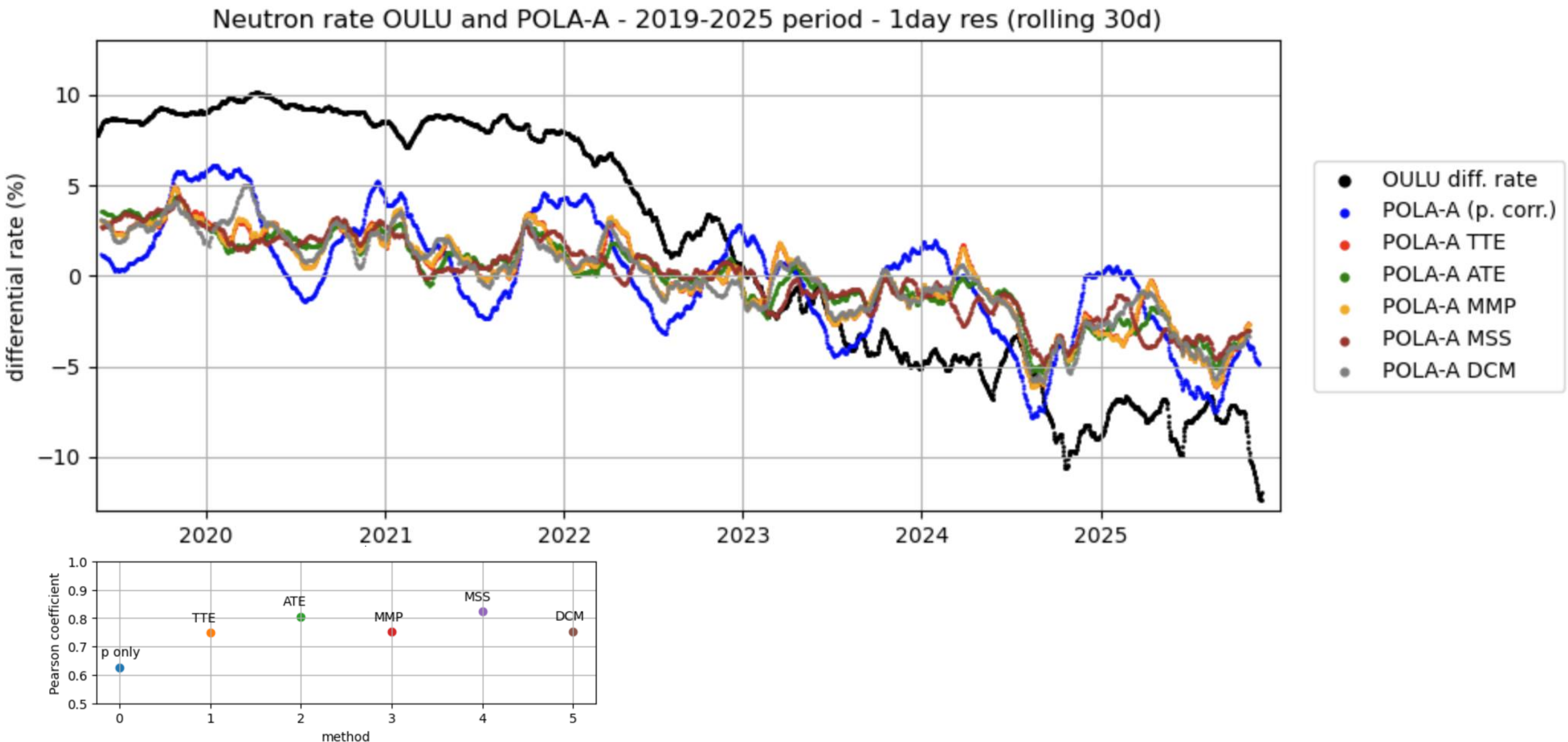
molto preliminary



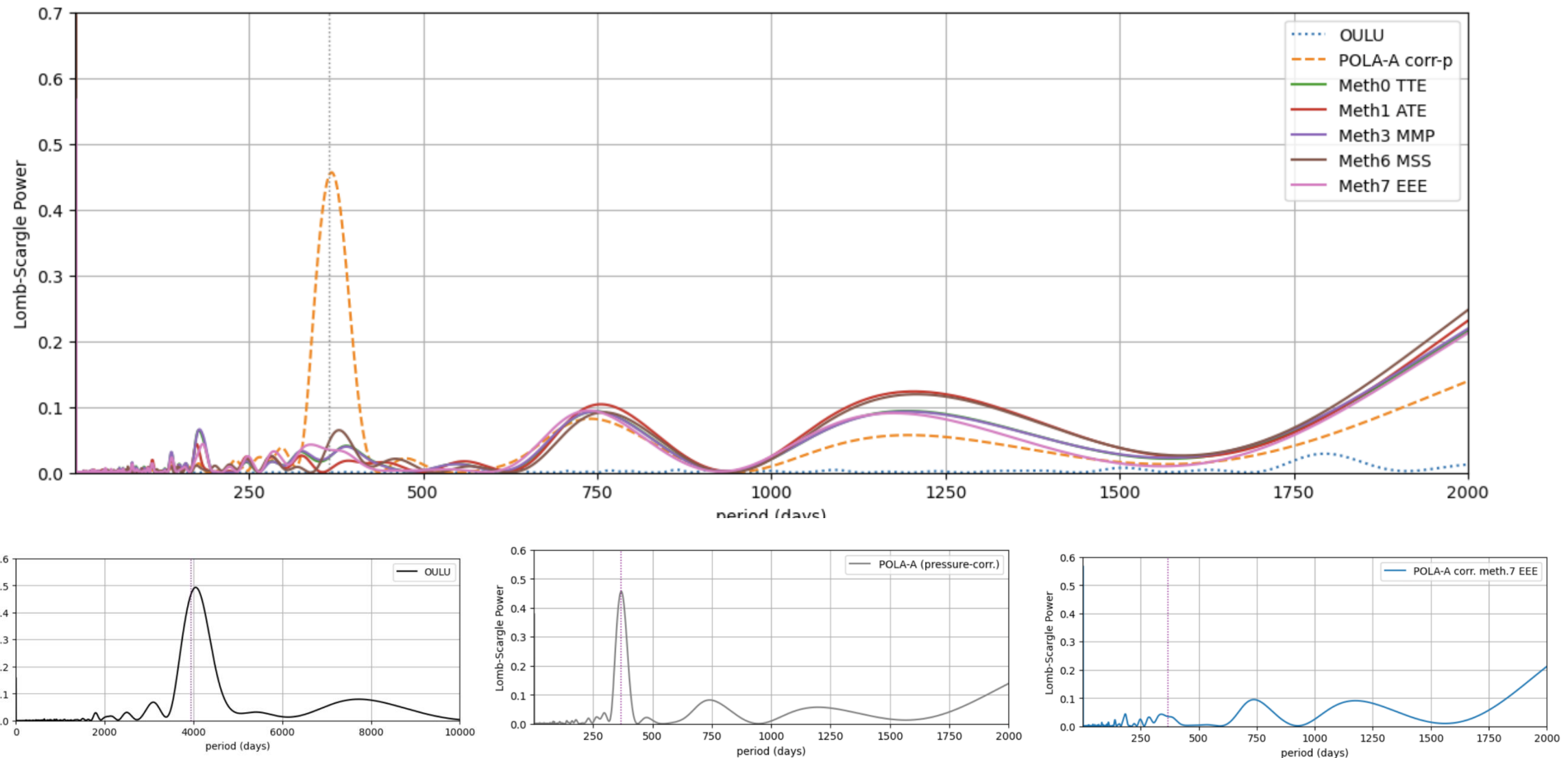
Plot riassuntivi



Confronto OULU e POLA differential rates



Periodogrammi



Summary

- Abbiamo applicato metodi empirici e discreti per calcolare l'effetto della temperatura atmosferica sul rate di muoni
- Alcuni metodi utilizzano la struttura verticale dell'atmosfera pesando i diversi strati, ma questi 'pesi' non si adattano alle alte latitudini
- Proponiamo un metodo mirato al profilo verticale locale, basato sul coefficiente di correlazione
- Confrontiamo i rate corretti in pressione e temperatura applicando i vari metodi, fra loro e con OULU
- Verifichiamo la periodicità del rate corretto in pressione e temperatura

POLA-A rate corrected for pressure and temperature - (rolling) methods 0-1-3-6-7

